

Nb-Lu, Rh, Pd, Os,  
Tc, Pt

Nb<sub>3</sub>Sn, Nb<sub>3</sub>O<sub>S</sub>, Nb<sub>3</sub>Ir, Nb<sub>3</sub>Pt, Ta<sub>3</sub>Sn,  
V<sub>3</sub>Sn (r<sub>xy</sub>)

1955  
VII 1023

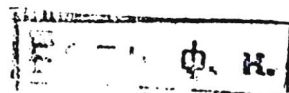
Geller S., Matthias B.T.,  
Goldstein R.

J.Amer.Chem.Soc., 1955, 77, N6, 1502-4.

Some new intermetallic compounds with  
the "B-wolfram" structure.

RX., 1956, N1, 205

M1



A-1240

1960

$\text{Nb}_{43}\text{Re}_{57}$ ,  $\text{NbRe}_x$  (62-87 as% Re),  $\text{NbRu}$ ,  $\text{NbPd}_3$ ,  
 $\text{NbOs}_x$  (30-54% Os),  $\text{NbOs}_y$  (55-65% Os),  $\text{Nb}_3\text{Os}$ ,  
 $\text{NbPt}_3$ ,  $\text{TaPt}_3$ ,  $\text{TaRe}_x$  (47-60% Re),  $\text{TaRe}_y$  (61-86% Re),  
 $\text{TaOs}_x$  (22-45% u 48-65% Os),  $\text{TaIr}_x$ ,  $\text{TaIr}_3$   
( крист. стр-па;  $T_m$ ,  $T_{tr}$ )

Knapton A.G.

J. Less-Common Metals, 1960, , N 2-4, 113-124

"Niobium and tantalum alloys"

ЕСТЬ У. К.

PX, 1961, 11B399

Б, А1, М

VII 3335

1961

PtNb<sub>2</sub>, PtNb<sub>3</sub> (Крист. стр-ра T<sub>m</sub>)

Kimura H., Ito A.

Кимура Хиродзо, Ито Акира

нихон киндзоку раккайси, Nippon kinzoku

gakkai-si, J. Japan Inst. Metals, 1961, 25,

N 1, 88-91

Есть ф. к.

" Система платина-тобий

Б. А. М.

РМ, 1961, II XI 49

VII 3324/961

Nb<sub>2</sub>Pd, Pd<sub>3</sub>Nb (Крист. структура, Т<sub>п</sub>)

Савицкий Е.М., Барон В.В., Хатинская А.И.

Ж. неорган. химии, 1961, 6, № II, 2603

" Диаграмма состояния системы ниобий

РХ, 1962, 18Б294

Ан. №

1963

NB-Res

Bender D. u gr

Phys. kondens.

Cp

Mater, 1963, 1, n3,

225

(Cer. NB) I

L-Nb<sub>3</sub>Ir,  $\beta$ -NbI<sub>3</sub>(Tm)

VII 9510 1964

Gissen B.C., Koch R.,  
Grant N.J.

Trans. Metallurg. Soc. AIME, 1964, 230, N6,  
1268-73.

The niobium-iridium constitution diagram.

RM., 1965, 3U19

Be, Au,  $\mu$   

E C T S	W. K.
---------	-------

VII 3312

NbRu<sub>3</sub> (крист. ctp-pa      |      T<sub>tr</sub> )

1964

Hurley G.F., Brophy J.H.

J. Less-Common Metals, 1964, 7, N 4, 267-277

"A concstitution diagram for the niobium-ruthenium system above 1100°C."

A1, Ml

PX, 1965, 11B586

VII 3305 1964

Nb<sub>3</sub>Rh, NbRh<sub>3</sub> 12 sp. (Kraus. et al., T<sub>tr</sub>)

Ritter D.L., Giessen B.C., Grant N.J.

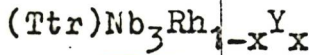
Trans. Metallurg. Soc. AIME, 1964, 230, N6,  
1250-1259

"The niobium(columbium)-rhodium binary system. Part I. The constitution diagram".

Pm, 1965, 3U21

E<sub>C</sub>      J. K.  
B, Au, Ml

VII 1024 1965



(Y=Co, Ru, Pd, Os, Ir, Pt, Au)

Zegler S.T.,

Phys. Rev., 1965, 137, N5A, 1438 - A 1965

Superconductivity in Cr<sub>3</sub>Si-type  
Ternary phases with niobium and group  
VIII metals.

RM., 1965, 8U213

Be, E C T B S M

TaRu, № Ru (Tm)

VII 4079 1966

Станционный музей М.С., Нескучное О.Р.

Редукт. лист. УИ-ТА, СевII, Хуанъи,

(1966, 21(1), 43-45

Печатные消息 Согласовано

№ Ru, № Ru

5

©  
1966

© 1966

VII 4543

1967

Si(Ge)XZ

X = Nb, Ta, Zr, Hf

Z = Pt, Pd, Fe, Co, Ni, Cu

(a, b, c)

Ganglberger E., Nowotny H.,

Benesovsky F.

Monatsh. Chem., 1967, 98, n1, gs 99

Mr

lets q.k.

7

VII 5924

1969

Nb<sub>3</sub>Os, Nb<sub>3</sub>T<sub>2</sub>, Nb<sub>3</sub>Pt, Nb<sub>3</sub>Sn      T<sub>T<sub>2</sub></sub>, C<sub>D</sub>, L

Spitzli P., Flükiger R., Heinger F., Müller J.

"Phys. Letters" 1969, A30, n3, 170-174 (amr).

Монолитное и спирохроматическое соеди-  
нение на основе Nb со структурой  
типа A15.

○ Ad 10

PM, 1970, 421151

1969

Wenzel, P.P.; Witzel, H.; Röhl, H.;  
 Witzel, H.; Röhl, H.; Witzel, H.;  
 Witzel, H.; Röhl, H.; Witzel, H.

W.N.D.

Wenzel, P.P.

VII 4680

H.S. Ad Energy Comm. 1969, HERD-1843, 112  
 Recombinative stability of certain  
 intermetallic compounds made  
 from transition elements.

M ⑨

94

CH 1969/II, NRD, 956662

7. VII 5875

1970

ZrNi<sub>2</sub>Sn, ZrCo<sub>2</sub>Sn, HfCo<sub>2</sub>Sn, NbCo<sub>2</sub>Sn, HfNi<sub>2</sub>Sn,  
NbNi<sub>2</sub>Sn, TiCo<sub>2</sub>Sn, TiNi<sub>2</sub>Sn, ZrNi<sub>2</sub>Sn, NbCo<sub>2</sub>Sn, NbTi<sub>2</sub>Sn,  
TiNi<sub>2</sub>Sn, HfNi<sub>2</sub>Sn, ZrPd<sub>2</sub>Sn      Данные. Стр-фа

Zeitschr. W. Met. Fraus' 1970, 1,  
N 11, 3153-3162 (анн.).

Составлено из переходных элементов  
из структурной точки зрения AgAgAs и  
AuCu<sub>2</sub>Al.

○ № 111 20

ПМ, 1971, 5452

NbRu<sub>3</sub>

1974

162029s Superconductivity of niobium-ruthenium alloys synthesized at high pressure. Popova, S. V.; Fomicheva, I. N.; Pal'nikov, N. I. *Zhur. Fiz. Niz. Temper.*, Moscow, USSR). *Pis'ma Zh. Tekh. Fiz.* 1974, 20(7), 638-641 (Phys.). NbRu<sub>3</sub> alloys prepared at 10 GPa appear at 17 K, while at 20 GPa they are present in a phase with fcc-type structure ( $a = 3.28 \text{ \AA}$ ), the superconducting transition temp. ( $T_c$ ) of 15-18 K, and the  $\gamma$ -phase has hexagonal close-packed structure ( $a = 2.74$ ,  $c = 4.46 \text{ \AA}$ ),  $T_c = 11-12 \text{ K}$ . The  $\gamma$ -phase has been obsd. before at atm. pressure, but the  $\alpha$ -phase appears only at high pressure.

(Ttr)

C.A. 1975. 82 - N20

Nb<sub>55</sub> Ir<sub>40</sub>O<sub>5</sub>

1975

Ta<sub>58</sub>

T<sub>r</sub> 42

(T<sub>r</sub>)

84: 11358h Superconductivity of new metastable phases of niobium-iridium, tantalum-iridium, and tantalum-rhodium. Johnson, W. L.; Poon, S. J. (W. M. Keck Lab. Eng. Mater., California Inst. Technol., Pasadena, Calif.). *J. Less-Common Met.* 1975, 42(3), 355-8 (Eng). The superconduction behavior of the title system was investigated. The techniques of rapid cooling from the liq. state, and the addn. of the small amt. of C or O to the binary allys, were employed as methods for synthesizing new phases not obtainable in the equil. binary systems. The alloys were prep'd. by induction-melting of the constituents on a Ag boat under A atm. The ternary allys were prep'd. by the addn. of K<sub>2</sub>O<sub>5</sub> or C powder to the melt. The superconducting transitions of these phases were obsd. by using a std. inductance bridge technique. Transition temps. higher

+1

X

C.A. 1976 84 n2

than those hitherto reported were obtained on the following 3 new phases:  $\text{Nb}_{55}\text{Ir}_{40}\text{O}_5$  ( $T_c = 11.7^\circ\text{K}$ ),  $\text{Ta}_{54}\text{Rh}_{43}\text{C}_3$  ( $6.3 \cdot 10^\circ\text{K}$ ), and  $\text{Ta}_{51}\text{Ir}_{42}$  ( $6.6^\circ\text{K}$ ). Other phases investigated were  $\text{Nb}_{58}\text{Ir}_{42}$  and  $\text{Nb}_{45.5}\text{Ir}_{45.5}\text{O}_9$ . The electron: atom ratios and not the at. ordering appear to be of primary importance in detg.  $T_c$  for  $A15$  phases contg. only transition metals. In these new phases with high  $T_c$  these ratios are  $\sim 6.5$ . The apparent importance of stoichiometry in  $\text{Nb}_3\text{Au}$  may be a consequence of the fact that the optimal electron: atom ratio of 6.5 is realized at the ideal stoichiometry. The metastable  $\text{Nb}_{55}\text{Ir}_{40}\text{O}_5$   $A15$ -like phase with  $T_c \sim 11.7^\circ\text{K}$  has a tetragonality of only 0.01. It appears that complete elimination of tetragonality would result in addnl. enhancement of  $T_c$ .

$Nb_{1-x}Ru_x$  (Ttr) 1975

Robbins C.G., Ishikawa M.,  
Tregraud A.; Muller J.

Solid State Comm., 1975  
17 (7), 903-8.

Effect of hydrogen on the  
superconducting and ...

C.A. 1975, 83 n24. 200897y.

*Nb<sub>0.8</sub>Pd<sub>0.2</sub>H<sub>0.30</sub>*

1976

39788t Superconductivity in hydrides of niobium-palladium and niobium-rhodium. Oesterreicher, H.; Clinton, J.

(Dep. Chem., Univ. California, La Jolla, Calif.). *J. Solid State Chem.*, 1976, 17(4), 443-5 (Eng). Hydriding by exposure of bulk materials to H<sub>2</sub> at ~100 atm produced Nb<sub>0.8</sub>Pd<sub>0.2</sub>H<sub>0.30</sub> with a superconducting transition temp.  $T_c$  at onset of 2.7°K. After aging in air for several months, this  $T_c$  was 5.10°K. Two bcc. phases were present in each case. Nb<sub>0.8</sub>Rh<sub>0.2</sub>H<sub>0.10</sub>, a single bcc. phase with slightly expanded lattice const., had a  $T_c$  at onset of 5.96°K. These increases in  $T_c$  with respect to the unhydrided alloys are interpreted in terms of lattice parameters.

(Tc)

C.J. 1976 85 n6

1974

Pd-Nb

Alikhaneova A. P., et al

газов.  
гварь.

Vestn. Mosk. Univ. Ser2  
Khim. 1974, 18(6), 746

•  
(Cis Mo-Pd; I)

$Nb_x Ba_y Ir_z$

1977

(grazobas jwarp.)

86: 161978r The niobium-gallium-iridium system. I. Phase equilibria at 1000°C and superconductivity in the niobium-rich part of the system. Drys, M. (Inst. Low Temp. Struct. Res., Pol. Acad. Sci., Wroclaw, Pol.). *J. Less-Common Met.* 1977, 52(1), 81-5 (Eng). The Nb-rich portion of the Nb-Ga-Ir ternary system was investigated by x-ray diffraction and electron microprobe techniques. The isothermal section of the phase diagram was detd. at 1000°. Complete solid solv. occurs between  $Nb_{3}Ir$  and  $Nb_3Ga$  but the  $\sigma$  phase and  $Nb_5Ga_3$  form only limited solid solns. Superconducting transition temps. are given as a function of compn.

C.A. 1977. 86 w 22

Nb<sub>x</sub>Os<sub>4</sub> (enrich)

1977

Ref: 7954 in The niobium-osmium constitution diagram.  
Waterstrat, R. M.; Manuszewski, R. C. (Am. Dent. Assoc., Health Found. Res. Unit, Natl. Bur. Stand., Washington, D. C.), *J. Less-Common Met.*, 1977, 51(1), 55-67 (Eng). The Nb-Os alloy system was studied over the entire compn. range using metallog., x-ray diffraction and electron microprobe techniques. The  $\epsilon$ -Os solid soln. extends to ~27 at.% Nb at high temps, but this is reduced to ~20 at.% Nb at lower temps. Three intermediate phases occur in this system and all of them possess topolog. close-packed structures of the Frank-Kasper type. These phases are  $\chi$ ( $\alpha$ -Mn type),  $\sigma$ ( $\sigma$ -phase type) and  $\beta$ (Al<sub>15</sub> or  $\beta$ W-type). The  $\alpha$ -Nb solid soln. extends to ~19 at.% Os at high temps, but only to ~13 at.% Os at lower temps. Two eutectic reactions occur at ~2120 and 2175°. The  $\chi$ -phase is formed by a peritectic reaction at ~2270°, the  $\sigma$ -phase melts congruently at ~2200° and the  $\beta$ -phase forms by a peritectoid reaction at ~1975°. All the intermediate phases possess highly ordered structures with the larger (Nb) atoms preferring the sites having high coordination while the smaller (Os) atoms prefer the sites of lowest coordination.

(Tm)

Conf-1977-86 #12

NBOS

1978

Fingerick R.A.

Jnt. J. Quantum Chem., 1978,  
Quantum Prob. Symp.,  
v12, 489-496.

specific  
charge

(See. Enke; III)

NBRu

1978

Gingerich L. A.

Int. J. Quantum Chem., 1978,  
Quantum Biol. Symp., v 12,  
489-496.

заправка  
стекла



(см. ZnRu;  $\text{Li}^+$ )

1978

PtNb<sub>3</sub>

Tc

90: 178892p The effects of neutron irradiation on the superconducting properties of niobium-platinum (Nb<sub>3</sub>Pt). Moehlecke, S.; Cox, D. E.; Sweedler, A. R. (Brookhaven Natl. Lab., Upton, N. Y.). *J. Less-Common Met.* 1978, 62, 111-18 (Eng). The effects of high-energy ( $E > 1$  MeV) neutron irradn. on the superconducting transition temp.  $T_c$ , the lattice parameter  $a_0$ , and the degree of long-range order  $S$ , for Nb-Pt alloys of the A15 type are described. The  $T_c$  (midpoint) of stoichiometric Nb<sub>3</sub>Pt is depressed from 10.6 K to 3.5 K after irradn. to a fluence of  $1.44 \times 10^{19}$  neutrons/cm<sup>2</sup>, and there is an accompanying decrease in  $S$ , from 0.95 to 0.59, and an increase in  $a_0$  of 0.13%. Isochronal annealing data for different compns. are also presented. The results are discussed in terms of site-exchange disorder, and a correlation between radiation and thermally induced disorder is noted.

C.A. 1979, 90, N22

1979

НВРиЗ (Тт2)

Агаджан В.М., Финеский В.А.,  
Ковтун Г.Н., Болико В.В., Погрэжов Ю.Г.

Вопр. Ат. Науки Тех., Сер.: Огн. дей.  
Физ. 1979, 9, 17-19.

Сверхпроводимость сплавов НВ-Ри

С.А. 1980, 93, №2, 17 700W

Ан (φ)

1979

# NbRu<sub>3</sub>

93: 17700w Superconductivity of niobium-ruthenium alloys.  
Azhazha, V. M.; Elenskii, V. A.; Kovtun, G. P.; Boiko, V. V.;  
Podrezov, Yu. F. (Khar'k. Fiz.-Tekh. Inst., Kharkov, USSR).  
*Vopr. At. Nauki Tekh., Ser.: Obshch. Yad. Fiz.* 1979, 9, 17-19  
(Russ). The supercond.-transition temp. ( $T_c$ ) of Nb-Ru alloys  
was studied for different comps. For Nb-based solid solns.,  $T_c$   
is well described by the MacMillan-Hopfield model. Near the  
compn. NbRu<sub>3</sub>, the phase has hcp. structure and  $T_c < 2.85$  K.  
Annealing decreases  $T_c$ .

Ttr

CA 1980 93 n2

*Nb<sub>3</sub> Au<sub>0.7</sub> Pt<sub>0.3</sub>*

1979

*Nb<sub>3</sub> Pt.*

(T<sub>cr</sub>)

91: 100723k Upper critical fields of Nb<sub>~3</sub>Au, Nb<sub>3</sub>Au<sub>0.7</sub>Pt<sub>0.3</sub> and Nb<sub>3</sub>Pt. Flukiger, R.; Foner, S.; McNiff, E. J., Jr.; Fischer, O. (Francis Bitter Natl. Magnet Lab., Massachusetts Inst. Technol., Cambridge, MA 02139 USA). Solid State Commun. 1979, 30(11), 723-6 (Eng). Upper crit. field measurements of the A15-type compds. Nb<sub>~3</sub>Au, Nb<sub>3</sub>Au<sub>0.7</sub>Pt<sub>0.3</sub> and Nb<sub>3</sub>Pt having T<sub>c</sub> values of 10.7, 13.0 and 8.7 K, resp., show H<sub>c2</sub>(0) values of 235, 295 and 125 kG, resp. The data for the compds. contg. Au fit

C.A.1979, GJN12

1980

NbPd<sub>2</sub> $\delta$ -NbPd

(Tm)

92: 294294b The niobium ( columbium)- palladium composition diagram, (Jeevanen, B. C.; Grant, N. J.; Parker, D. P.; Majuszewski, R. J.; Waterstrat, R. M. (Northeastern Univ., Boston, MA 02115 USA). *Metall. Trans., A* 1980, 11A(5), 709-15 (Eng). The Nb-Pd system was investigated over the entire compn. range by metallog. and x-ray diffraction anal. The solv. limits of terminal and intermediate phases and solidus temps. were detd.  $\alpha$ -Nb dissolves ~36 at. % Pd 1520° and ~20 at. % Pd at 800°;  $\alpha$ -Pd dissolves ~31 at. % Nb at 1610° and ~18 at. % Nb at temps. below 1500°. The presence of 3 intermediate phases NbPd<sub>2</sub> (MoPt<sub>2</sub>-type),  $\alpha$ -NbPd<sub>3</sub> (TiAl<sub>3</sub>-type), and  $\beta$ -NbPd<sub>3</sub> ( $\beta$ -NbPd<sub>3</sub>-type) was confirmed; NbPd<sub>2</sub> m. 1610° and 1 of the NbPd<sub>3</sub> phases transforms at the same temp. into  $\alpha$ -Pd solid soln. which m. 1625°. In addn., an approx. equiat. high-temp. phase  $\alpha$ -NbPd with a homogeneity range of ~11 at. % was found (m. 1520 to 1565°) and probably is an extension of an isomorphous with the  $\alpha$ -Pd solid soln. Five 3-phase reactions are described, and crystal chem. relations are discussed.

CA 1980 92 n24

Nb-Pt-O

1980

V92: 170123j Phase equilibria in the niobium-rich corner of the niobium-platinum-oxygen system at 1373 K. Horyn, R.; Andruszkiewicz, R. (Inst. Low Temp. Struct. Res., Pol. Acad. Sci., 50-950 Wroclaw, Pol.). *J. Less-Common Met.* 1980, 69(2), 327-30 (Eng). The phase equil. of the Nb-Pt-O system were studied by the x-ray powder method and by chem. anal. The results are shown in a phase diagram. A new ternary phase described as R(NbPtO) was identified. Its d. and hexagonal unit cell parameters are:  $d_m = 12.89 \text{ g/cm}^3$ ,  $a = 7.935 \pm 0.004 \text{ \AA}$ ,  $c = 5.066 \pm 0.003 \text{ \AA}$ , and  $c/a = 0.638$ . Supercond. of the R(NbPtO) phase was not obsd.  $\leq 4 \text{ K}$ .

spazob.  
guarif.

CA 1980 92 n2D

1980

Nb Rh  
Nb Y<sub>x</sub>  
(Cnab)

(Tc)

(+) Ta Rh  
Ta Y<sub>x</sub>  
Cnab.

✓ 94: 56754g Superconductivity in amorphous T<sub>5</sub>T<sub>9</sub> transition-metal alloys (T<sub>5</sub> = Nb, Ta; T<sub>9</sub> = Rh, Ir). Koch, C. C.; Kroeger, D. M.; Scarbrough, J. O.; Giessen, B. C. (Met. Ceram. Div., Oak Ridge Natl. Lab., Oak Ridge, TN 37830 USA). Phys. Rev. B: Condens. Matter 1980, 22(11), 5213-24 (Eng). The superconducting transition temp. T<sub>c</sub> was measured for amorphous T<sub>5</sub>T<sub>9</sub> alloys (where T<sub>5</sub> = Nb or Ta, T<sub>9</sub> = Rh or Ir) as a function of compn. Nb and Ta dominated the T<sub>c</sub> behavior with T<sub>c</sub> for Nb alloys  $\approx$  4.8-5.1 K and T<sub>c</sub> for Ta alloys  $\approx$  3.1-3.3 K. Changing the av. group no. by varying the T<sub>5</sub>/T<sub>9</sub> ratio had little effect on T<sub>c</sub> within the  $\sim$ 10 at.% range of compn. in which the amorphous alloys form. The value of T<sub>c</sub> decreased approx. with x for (Nb<sub>1-x</sub>Ta<sub>x</sub>)<sub>55</sub>Rh<sub>45</sub> and (Nb<sub>1-x</sub>Ta<sub>x</sub>)<sub>55</sub>Ir<sub>45</sub>. The c.c. resistivity and the upper crit. field were measured as functions of temp. The Debye temp. was calcd. from measurements of Young's modulus. These parameters allowed calens. to be made of N(E<sub>F</sub>), the d. of electronic states at the Fermi level, and  $\lambda$ , the electron-phonon coupling const. The value of  $\lambda$  reflected the T<sub>c</sub> behavior better than did N(E<sub>F</sub>). Both the electronic and phonon contributions had to be considered in the detn. of  $\lambda$ .

C.A. 1981.94 NS

1980

$Nb_3 Ge$ ,

$Nb_3 Os$

( $T_{c2}$ )

Матухин В.Н., и др.

Физ. магн. меса,  
1980, 22, №, 1874-1875.

(Cu-Nb<sub>3</sub>Al; I)

H(NbIrO)

БГУ 13773

1982

✓ 15 Б651. Теплоемкость при низких температурах  
 $\text{H}(\text{NbIrO})$  и  $\text{R}(\text{NbPtO})$ . Cort B., Giorgi A. L.,  
 Stewart G. R. Low temperature specific heats of  
 $\text{H}(\text{NbIrO})$  and  $\text{R}(\text{NbPtO})$ . «J. Low Temp. Phys.», 1982,  
 № 1—2, 179—185 (англ.).

Теплоемкость  $C_p$  двух сверхпроводников  $\text{Nb}_{4,95}\text{Ir}_{2,70}\text{O}_{1,35}$  (I) и  $\text{Nb}_{5,04}\text{Pt}_{2,97}\text{O}_{1,18}$  (II) измерена в интервале 1,9—15 К с точностью  $\pm 2\%$ . I и II получены сплавлением Pt, Ir, Nb и  $\text{Nb}_2\text{O}_5$  высокой чистоты в дуговой печи с послед. отжигом при 1500° С. Сингония — гексагональная, параметры решетки I  $a = 7,868$ ,  $c = 5,095$ , II  $a = 7,959$ ,  $c = 5,032$  Å.  $C_p$  измерена в отсутствие магн. поля и в поле 7 Тл. В области  $T_{\text{крит}} = 10,6$  К (I) и 3,8 К (II) обнаружена аномалия  $C_p$ . Вычислены  $\theta_D$  К (1-я цифра), ширина области перехода в сверхпроводящее состояние  $\Delta T$  К (2-я), плотность состояний  $N(E)$  эВ/атом (3-я), параметр электрон-фононного взаимо-

$C_p$ ;

(H)

X, 1982, 19, N 15.

действия  $\lambda$  (4-я) и глубина энретич. щели  $2\Delta/k_B T_{\text{крит}}$  (5-я цифра), равные для I  $475 \pm 5; 0,6; 1,2 \pm 0,1; 0,62 \pm 0,05; 4,4 \pm 0,3$  и для II  $337 \pm 2; 0,8; 0,94 \pm 0,04; 0,52 \pm 0,05$  и  $4,4 \pm 0,6$ . Снижение  $T_{\text{крит}}$  при переходе от I к II вызвано уменьшением плотности состояний и т-ры Дебая в соответствии с теорией Бардина—Купера—Шрифера.

Л. А. Резницкий

H(NbIrO)

OTT 13773

1982

Nb-Pt-O

Nb ~~Ir~~

Nb<sup>3</sup>Pt-O

P<sup>0.455</sup> 270

96: 224181e Low temperature specific heats of H(NbIrO) and R(NbPtO). Cort, B.; Giorgi, A. L.; Stewart, G. R. (Los Alamos Natl. Lab., Los Alamos, NM USA). *J. Low Temp. Phys.* 1982, 47(1-2), 179-85 (Eng). The sp. heats of the hexagonal structures H(NbIrO) and R(NbPtO) were measured at 1.2-15 K. The R-phase compd. is superconducting with  $T_c = 3.8$  K. The redn. in  $T_c$  from 10.1 to 3.8 K between the 2 phases is qual. accounted for by corresponding redns. in the d. of states and Debye temp. by using the BCS theory.

C. A. 1982, 96, N26.

$Nb_x Rh_{1-x}$

1982

$NbRh_3$

$\Delta_f G^\circ$

96: 169728m On the thermodynamics in the niobium-rhodium and niobium-rhodium-oxygen systems. Kleykamp, H. (Inst. Mater. Festkoerperforsch., Kernforschungszent. Karlsruhe, D 7500 Karlsruhe, 1 Fed. Rep. Ger.). *J. Less-Common Met.* 1982, 83(1), 105-13 (Eng). A section of the Nb-Rh-O system was investigated at 1273 K. The intermetallic phase  $NbRh_3$  and the solid solution  $Pt(Nb)$  coexist with  $Nb_2O_5$ . Emf measurements were made in the Nb-Rh system by using galvanic cells with O-ion-conducting solid electrolytes for the purpose of detg. the relative partial Gibbs energy of Nb in  $Nb_x Rh_{1-x}$  ( $x \leq 0.13$ ) and the Gibbs energies of formation of  $Nb_x Rh_{1-x}$  and  $NbRh_3$ . The relative partial excess Gibbs energy of Nb in Rh at infinite diln. is -200 kJ/mol at 1200 K.

C.A. 1982, 96, N20

Nb-Ni-P

1983

2 Б3120. Изучение системы Nb—Ni—P. Ломницкая Я. Ф., Кузьма Ю. Б. «Изв. АН СССР. «Неорганические материалы», 1983, 19, № 8, 1328—1332

Методом рентгенофазового анализа изучены фазовые равновесия в системе Nb—Ni—P при 1070 К. Соединение  $\text{Ni}_2\text{P}$  растворяет Nb до предельного состава  $\text{Ni}_{1,5}\text{Nb}_{0,5}\text{P}$ . Подтверждено образование фосфидов  $\text{Nb}_4\text{NiP}$  (структура типа  $\text{Nb}_4\text{CoSi}$ ),  $\text{Nb}_5\text{Ni}_4\text{P}_4$  (тип  $\text{Nb}_5\text{Cu}_4\text{Si}_4$ ),  $\text{NbNiP}$  (тип  $\text{TiNiSi}$ ),  $\text{Nb}_2\text{Ni}_2\text{P}_3$  (тип собственный); для  $\text{NbNiP}$  установлена область гомогенности  $\text{Nb}_{0,94-1,03}\text{Ni}_{1,06-0,97}\text{P}$ . Обнаружены еще 4 новых фосфида. Соединение  $\text{Nb}_2\text{Ni}_9\text{P}$  обладает структурой типа  $\text{AuBe}_5$  (пр. гр.  $F\bar{4}3m$ ,  $a=0,6587(5)$  нм) со статистич. распределением атомов Ni и P в положениях 4 (c) и 16 (e). Соединение  $\text{Ni}_9\text{P}$  обладает структурой типа  $\text{AuBe}_5$  (пр. гр.  $F43m$ ,  $P4/mbm$ ) и кристаллизуется в тетрагон. сингонии ( $a=0,6606(5)$ ,  $c=0,3452(6)$  нм). На монокристалле

раскрытое  
также

ж. 1984, 19, № 2

установлено, что соединение NbNiP<sub>2</sub> обладает ромбич. структурой собственного типа (пр. гр. *Pnma*,  $a=0,5405(3)$ ,  $b=0,3346(2)$ ,  $c=1,2152(5)$  нм,  $Z=4$ ). Крист. структура соединения ~NbNi<sub>2</sub>P не установлена. Проведено сравнение систем Nb—M—P, где M — металл триады железа.

Автореферат

Nb<sub>3</sub>Os

1983

✓ 9 E343. Термическое расширение решетки Nb<sub>3</sub>Os.  
Lattice thermal expansion of Nb<sub>3</sub>Os. Reddy M. Somi,  
Suryanagauna S. V. «J. Mater. Sci. Lett.», 1983,  
2, № 4, 171—172 (англ.)

Температурная зависимость параметров элементарной ячейки Nb<sub>3</sub>Os (пр. гр. *Pm3n*) исследована методом прецизионной порошковой рентгенографии в интервале т-р от 303 до 783 К. Зависимость коэф. теплового расширения от т-ры представлена в аналитич. форме. Отмечается, что величина коэф. термического расширения Nb<sub>3</sub>Os очень мала во всем исследованном интервале т-р. При комнатной т-ре величина главного коэф. теплового расширения равна  $1,30 \cdot 10^{-6} \text{ K}^{-1}$ .

А. П. Р.

термическое  
расширение

ФД. 1983, 18, № 9

*Nb<sub>2</sub>Pd<sub>3</sub>Se<sub>8</sub>*

1984

18 Б2035. Новый структурный тип в химии тройных халькогенидов: структура и свойства Nb<sub>2</sub>Pd<sub>3</sub>Se<sub>8</sub>. A new structural type in ternary chalcogenide chemistry: structure and properties of Nb<sub>2</sub>Pd<sub>3</sub>Se<sub>8</sub>. Keszler Douglas A., Ibers James A. «J. Solid State Chem.», 1984, 52, № 1, 73—79 (англ.)

Осуществлен синтез (методом газотранспортной р-ции из элементов с использованием Вг<sub>2</sub> в кач-ве носителя, при т-рном градиенте 650—600° С), рентгенографич. (λ Mo, анизотропный МНК, R 0,106 для 2717 отражений) и эл. исследование кристаллов Nb<sub>2</sub>Pd<sub>3</sub>Se<sub>8</sub> (состав по данным электронного микронализатора). Параметры ромбич. решетки: a 15,074, b 10,573, c 3,547 Å, Z 2, ф. гр. Pbam. Атомы Nb в структуре находятся в тригонально-призматич. координации из атомов Se (Nb—Se 2,551—2,616 Å). Призмы вокруг Nb соединяются боковыми ребрами в цепи, проходящие вдоль оси c. Распо-

*параллельно  
решетке*

X.1984, 19, N 18

лагающиеся между цепями атомы Pd находятся в 2 типах координац. окружения: плоском квадратном (Pd—Se 2,417, 2,457) и 5-кратном в полуоктаэдре (Pd—Se 2,467—2,567). Многогранники вокруг Pd связывают цепи из тригон. призм в трехмерный каркас, пронизанный вдоль оси с большими туннелями (расстояние Se...Se по диаметру туннеля 3,574—4,052 Å). Изучение зависимости эл. проводимости от т-ры в интервале 380—100 К показало металлич.—полупроводниковый характер соединения. Максим. уд. проводимость при т-ре 295 К составляет  $6.6 \text{ ом}^{-1}\text{см}^{-1}$ . С. В. Соболева

$Nb_3 Os$

1984

101: 220183f Debye characteristic temperatures of niobium= osmium, niobium-platinum, and niobium-gold ( $Nb_3 Os$ ,  $Nb_3 Pt$  and  $Nb_3 Au$ ). Reddy, S. Venkat; Suryanarayana, S. V. (Post Grad. Cent. Eng. Phys. Instrum., Osmania Univ., Godavarikhani, 505 209 India). *J. Mater. Sci. Lett.* 1984, 3(9), 763-6 (Eng). Debye temps. and Debye-Waller factors were detd. for the A-15-type compds.  $Nb_3 Os$ ,  $Nb_3 Pt$ , and  $Nb_3 Au$  by x-ray methods.

$O_2;$

~~⊗~~ ~~(2)~~ ~~⊗~~



c.A.1984, 101, N24

Nb-Pd

1986

Kuentzler R., Waterstat  
rat R. M.

Op;

J. Less-Common Metals,  
1986, 120, N<sup>o</sup> 2, 317 - 335.

(cfr. V-Pd; ?)

NBPdx

(M. 32304)

1988

Cima M., Brewer L.,

Metallurg Trans., 1988, 19B,  
893-917.

The Generalized Lewis Acid-  
Base Titration of Palladium

and Niobium.

N<sub>6</sub>Pd<sub>3</sub>

(DM. 29501)

1988

Drewes W., Leson A.,  
Schelp W., et al.

C<sub>p</sub>,

varium. J. Phys. F: Metal. Phys;  
momentos 1988, 18, N 1, 137-152.

*NbPdTe<sub>5</sub>*

*1988*

14 Б2025. Синтез, структура и проводимость нового тройного халькогенида NbPdTe<sub>5</sub>. Synthesis, structure, and conductivity of the new ternary chalcogenide NbPdTe<sub>5</sub> / Lhmatte E. W., Ibers James A. // J. Solid State chem.— 1988.— 77, № 1.— С. 141—147.— Англ.

*Синтез,  
структур*

Проведен РСТА при 123 К ( $\lambda$  Mo, 890 отражений,  $R = 0,043$ ): NbPdTe<sub>5</sub> (I) полученного из элементов в кварцевой ампуле при  $10^{-5}$  Торр, т-рном градиенте 700/750° С, и транспортном агенте I<sub>2</sub>. Параметры ромбич. решетки:  $a = 15,673$ ,  $b = 3,728$ ,  $c = 12,720$  Å,  $Z = 4$ ,  $\rho$  (выч.) 7,48, ф. гр. *Pnma*. Кристаллы принадлежат к новому СТ родственному NbNiTe<sub>5</sub>. Слои перпендикулярные с содержат вытянутые вдоль  $b$  цепочки двухшарочных тригон. призм NbTe<sub>8</sub>, связанных гранями, и октаэдров PdTe<sub>6</sub>, связанных ребрами. Межатомные рас-

*X. 1989, N 14*

стояния: Nb—Te 2,834—2,947, Pd—Te 2,667—2,708,  
Nb—Nb 3,728, Nb—Pd 4,337, Pd—Pd 3,728, Te—Te  
3,242—3,858 Å. Эл. проводимость кристаллов исследова-  
на по 4-точечной методике (переменный ток) вдоль  
направления вытянутости при 13—295 К. Проводимость  
металлич. типа  $[\sigma(295) 1,3 \cdot 10^3 \text{ Ом}^{-1} \cdot \text{см}^{-1}]$  у I сущест-  
венно отличается от проводимости II. А. Ю. Шашков

PdNB

1988.

Ram P.N., Semalty  
P. D., et al.

Cp; J. Phys. F: Met. Phys.  
1988, 18(3), 393-402.

( Cu: PdAg; I)

МФРах

Stickney M. J. 1989

11 Б3046. Масс-спектрометр с двухкамерной кнудсеновской эффузионной ячейкой для термодинамических исследований сплавов. II. Twin-chamber Knudsen effusion cell mass spectrometer for alloy thermodynamic studies. II: [Pap.] Proc. 6th Int. Conf. High Temp.—Chem. Inorg. Mater., Gaithersburg, Md, Apr. 3—7, 1989 / Stickney M. J., Chandrasekharaih M. S., Ginge-rich K. A. // High Temp. Sci.—1988—1989.—26, Spec. Vol.—C. 187—195.—Англ.

( $\Delta_f H^\circ$ ,  $\Delta_f G^\circ$ )

Описаны нек-рые новые усовершенствования, использованные в масс-спектрометре с двухкамерной кнудсеновской эффузионной ячейкой и устройством для точной юстировки. С использованием этого прибора при  $T$ -рах 1490—1698 К определены активности компонентов в сплавах 76 Pd·24 Nb и 97 Pd·3 Nb. Из эксперим. данных для этих сплавов найдено, что  $\Delta_{vap}H^\circ$  (Pd, 298 K) равны  $91,2 \pm 2,1$  и  $90,5 \pm 1,1$  ккал/моль соотв. Обсуждены преимущества применения МС с двухкамерной или многокамерной кнудсеновской эффузионной ячейкой по сравнению с МС с однокамерной кнудсеновской эффузионной ячейкой.

В. Ф. Байбуз

X. 1991, N 11

№ 44 № 4

1992

21 Б2013. Синтез и физические свойства новых слоистых тернарных теллуридов  $M\text{IrTe}_4$  ( $M=\text{Nb}, \text{Ta}$ ) и структура  $\text{NbIrTe}_4$ . Synthesis and physical properties of the new layered ternary tellurides  $M\text{IrTe}_4$  ( $M=\text{Nb}, \text{Ta}$ ), and the structure of  $\text{NbIrTe}_4$  /Mar A., Ibers J. A. //J. Solid State Chem. —1992.—97, № 2.—С. 366—378.—Англ.

Взаимодействием смесей  $M$ , Ir и Te, взятых в ат. отношении соотв. 1:1:8 при  $1000^{\circ}\text{C}$  в вакууме получены  $M\text{IrTe}_4$  с  $M=\text{Nb}$  (I), Ta (II). Изоструктурные друг другу ромбич. I и II имеют соотв.  $a$  3,768, 3,77,  $b$  12,486, 12,37,  $c$  13,077, 13,17 Å,  $Z$  4, ф. гр.  $Pmn\bar{2}1$ , для I  $r$  (выч.) 8,59. Для I методом РСТА ( $\lambda\text{MoK}_{\alpha}$ , 294 К, 1513 ненулевых отражений,  $R$  0,076) изучена крист. структура. I является искаженным 4-слойным политипом CT  $\text{CdI}_3$ , имеющим строение близкое  $\text{WTe}_2$  и  $\beta\text{-MoTe}_2$ . Октаэдры  $\text{NbTe}_6$  ( $\text{Nb}-\text{Te}$  2,636—2,886 Å) и  $\text{IrTe}_6$  ( $\text{Ir}-\text{Te}$  2,633—2,702 Å) связаны в

Сергей,  
Студентка

X. 1993, № 21

слое через общие ребра в цепи, тянувшиеся вдоль [100]. Цепи вдоль [010] упорядоченно объединены в слои, чередуясь в последовательности ...Nb—Ir...Ir—Nb, расстояния Nb—Ir 3,068—3,078 Å указывают на взаимодействие металл-металл. Значения уд. сопротивления I и II вдоль [100] при 298 К соотв.  $8,1 \cdot 10^{-4}$  и  $1,2 \cdot 10^{-4}$  ом см, т-ная зависимость уд. сопротивления указывает на металлич. тип проводимости. Магнитные исследования I и II указали на температурно-независимый парамагнетизм Паули с мольной восприимчивостью  $1,9 \cdot 10^{-3}$  и  $8,9 \cdot 10^{-4}$  эмс•моль соответственно. М. Б. Варфоломеев

Rh<sub>2</sub>NbO<sub>7</sub>

1992

Yin Y. G., Wakasugi T.,  
et al.

142420 mob-  
release

Bull. Chem. Soc. Jap.  
1992. 65, N II. C. 3218 -  
3220.

(Cer. NiNb<sub>2</sub>O<sub>6</sub>; I)

Al-Nb

Sánchez J.M., Becker J.D., 1993

Springer Ser. Solid-State  
Phys. Mater. Sci. 1993, 114, 143-56.

(Al<sub>1-x</sub>Nb<sub>x</sub>; I)

$\text{Pt}_3\text{Nb}$

1994

Guo Qite, Kleppa O. J.

( $\Delta_f H$ ) J. Alloys Compd. 1994,  
205 (1-2), 63-4.

(cse.  $\bullet \text{Ni}_3\text{Ta}$ ; I)

Pt<sub>3</sub>Nb

(Om. 37948)

1995

Biti Biu and O.Y. Kleppa,

J. Phys. Chem., 1995, 99,

$\Delta H_f^0$

2854-2856